

舞鶴工業高等専門学校 正会員○川合 茂
 鳥取大学工学部 正会員 道上正規
 鳥取大学工学部 正会員 榎谷 治
 鳥取大学大学院 学生員 嶋 尚大

1.はじめに：弯曲部における河床は、周知のように、外岸側で洗掘、内岸側で堆積が生ずる。しかし、筆者らの実験¹⁾の中で、弯曲部内岸の河床が初期河床位より顕著に低下する場合がみられた。そこで、このことを改めて確かめるとともに、内岸の河床が低下する過程を調べるために簡単な実験を行った。

2.実験概要：実験水路は、図-1に示すように、90°の弯曲部を有し、その上下流は直線の単一弯曲水路である。諸元は水路幅 $B = 20\text{cm}$ 、弯曲の中心曲率半径 $r_c = 60\text{cm}$ ($r_c / B = 3.0$)、上流部の直線区間長 4.5m 、下流部の直線区間長 1.6m である。実験は、表-1に示すような2ケースを行っている。RUN 1は内岸部が洗掘される場合で、RUN 2は従来の結果が得られる場合である。いずれのケースも実験用砂は平均粒径が 0.6mm のほぼ一様な分布を有するものである。なお、実験では給砂を行っていない。

通水開始後、河床変動がほぼ終了したと思われる時点で水面形および河床形状を測定した。RUN 1では内岸側に顕著な剥離域が形成された。この形状は、注射針にて赤インキを流し、順流と逆流の現れる時間が等しくなるところを目視によって定めた。

3.実験結果：図-2に内・外岸沿いの河床の縦断形状を示す。河床位 $z = 0$ は初期河床位である。まず、外岸沿いを見る。いずれのケースも洗掘され、最大洗掘深は RUN 1 で 60° 断面、RUN 2 で 45° 断面に現れている。従来と同じ傾向を示す。ついで、内岸沿いの河床を見る。RUN 2 は全般的に初期河床位より高くなっている。従来と同じ傾向を示すが、RUN 1 の場合は 45° 付近より下流で、初期河床位より低くなっている。従来と異なる傾向を示す。RUN 1 の場合、 45° 断面付近より下流の内岸側に顕著な剥離域が形成される。図-3に剥離域と河床の等高線図を示す。図中の数値 0 は初期河床位を表し、+は堆積を、-は洗掘を表す。剥離域は、破線で示すように、内岸部の 45° 断面付近から 75° 断面付近にかけて形成されている。この領域は、従来の成果によればほぼ堆積領域であるが、図示のように河床高は $0 \sim -4\text{cm}$ と、初期河床より低下している。

RUN 1 の内岸河床の低下状況をみると。通水後しばらくの間、土砂は外岸から内岸へ運ばれ、外岸側

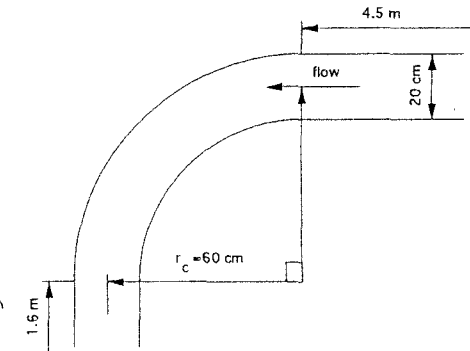


図-1 実験水路概略図

表-1 実験条件

	$Q(\text{l/s})$	i_s	$h_m (\text{cm})$	τ^*
RUN 1	4.0	1/300	4.5	0.171
RUN 2	2.0	1/200	2.4	0.135

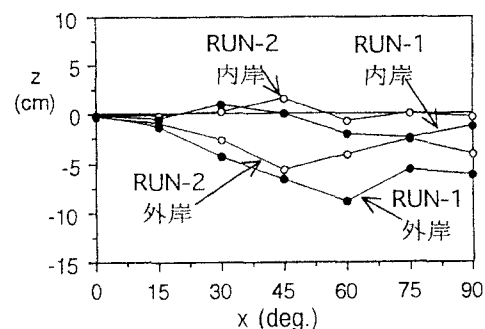


図-2 内岸と外岸沿いの河床縦断形状

Shigeru KAWAI, Masanori MICHIE, Osamu HINOKIDANI, Naohiro SHIMA

の洗掘、内岸側の堆積が進行する。従来と同じである。外岸から内岸への砂の輸送がほとんどなくなると、 45° 断面付近より下流の内岸側で剥離域が形成される。すると、その直下流の $80^\circ \sim 90^\circ$ 断面の砂が下流へ輸送されはじめ、河床は洗掘されて低下する。ついで、上流側も徐々に洗掘されていく。なお、RUN 2 では剥離域は形成されない。一方、外岸側の洗掘領域では dune が発生・発達する。RUN 2においても dune の発生・発達はみられる。剥離域が形成されると、dune の前面へ輸送される砂は巻き上げられるように内岸へ向かうが、すぐに外岸側へ戻される。このとき、内岸から外岸へかけての斜面上の砂が、滑落するかのように外岸側へ運ばれ、dune とともに下流へ輸送される。内岸側の河床低下と関係するものと思われる。こうした砂の挙動は、剥離域の形成に伴って、内岸へ向かう流れが阻害されるとともに河床の横断勾配が大きくなっているためと思われる。

図-4 に RUN 1、RUN 2 の河床の横断勾配 θ の縦断変化を示す。RUN 1 の θ の方が大きくなっているが、いずれのケースも $40^\circ \sim 75^\circ$ 断面において、大半が $\theta > 25^\circ$ で、 $\theta > 30^\circ$ となっているところもある。 θ は水中安息角程度に大きい。

RUN 2においても dune が形成されるとともに河床横断勾配も大きい。しかし、内岸側の河床低下はみられない。RUN 1との違いは、剥離域が形成されることである。つまり、RUN 1における内岸の河床低下は、河床横断勾配の大きさに加えて、剥離域によって生ずる不安定な流れと dune によって生ずる不安定な流れの相乗的な効果によって、内岸側の河床が洗掘され、外岸側へ運ばれるためと推察される。

図-5 に従来の実験の r_c/B と B/h (h : 弯曲部の平均水深) を示している。剥離域が形成された今回の実験条件 (●印) は、従来の実験と比べて r_c/B 、 B/h とともに小さい。村本ら²⁾ の実験 (○印) をみると、 r_c/B や B/h が今回の実験と同程度に小さいケースもある。この場合、両者の掃流力も同程度であった。しかし、村本らの実験で剥離域が形成されたとの記述はみられない。剥離域の形成条件についてはさらに検討する必要がある。

4. むすび：弯曲水路の内岸部における河床が初期河床位より低下する場合の実験を行い、河床低下には剥離域と外岸側の洗掘領域で発生・発達する dune が関係することを述べた。今後、このことをさらに検討するとともに、河床波の河床形状に及ぼす影響などを調べていくつもりである。

参考文献：1) 川合・道上：弯曲横越流における横越砂量配分に

ついて、平成 7 年度関西支部年講、2) 村本・坂本：弯曲水路の河床変動に関する研究(2)、京大防災研究所年報第 12 号 B、昭.44.

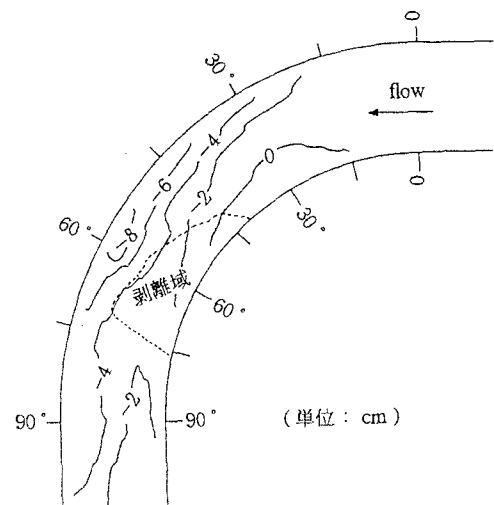


図-3 剥離域形状と河床等高線図

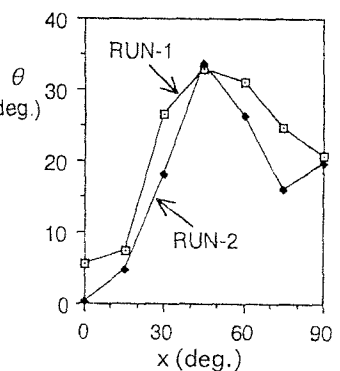


図-4 河床横断勾配の縦断変化

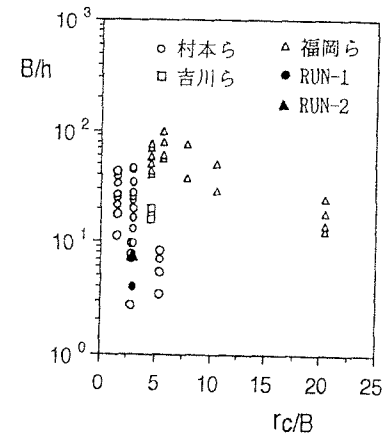


図-5 実験条件の比較